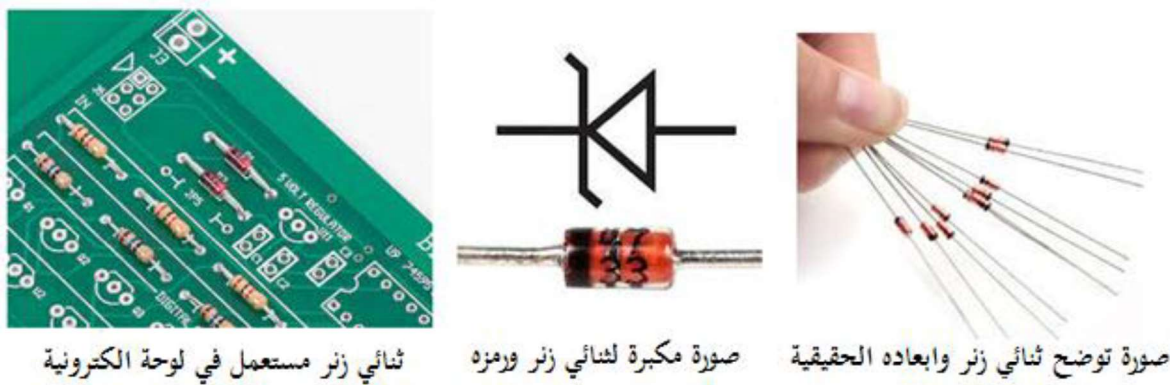


ذكرنا سابقاً انه يجب تجنب عمل الثنائي العادي (ثنائي التقويم) في منطقة الانهيار (الانكسار) التهدمي، الا ان هناك نوع خاص من الثنائيات يُصمم للعمل ضمن منطقة الانهيار وهو الثنائي زنر (Zener Diode)، ويستعمل الثنائي زنر بكثرة في الدوائر الإلكترونية بحيث يأتي بالمرتبة الثانية بعد الثنائي التقويم. سيخصص هذا الفصل لدراسة تركيب وخصائص الثنائي زنر وتطبيقاته.

الشكل (٤) يمثل صورة لثنائي زنر العملي ويوضح أبعاده الحقيقية وصورة مكبرة له للتعریف بقطبی الثنائي زنر ونموذج من دائرة الكترونية مطبوعة استعمل فيها الثنائي زنر.



شكل (٤) صورة لثنائي زنر العملي

٤. تركيب الثنائي زنر

عادة ما يستعمل السليكون في صناعة الثنائي زنر، وبشایبه تركيب الثنائي زنر تركيب الثنائي العادي، فهو عبارة عن وصلة شبه موصل (موجب-سالب) غير ان الاختلاف يكون في نسبة التشويب حيث يكون نسبة التشويب في الثنائي زنر اكبر من نسبة تشويب الثنائي العادي.

ان الثنائي زنر مصمم للعمل في منطقة الانهيار، ويمكن التحكم في فولتية الانهيار من خلال التحكم في نسبة التشويب لحظة صناعة الثنائي، حيث تقل فولتية الانهيار كلما زادت نسبة التشويب فيمكن الحصول على فولتيات انهيار تتراوح بين (1.5V) إلى (200V) أو اكثر.

في حالة الثنائي زنر هناك نوعان من الانهيار وهما الانهيار التهدمي وانهيار زنر، وفيما يلي شرح مختصر لكل نوع:

أ. انهيار تهدمي (Avalanche Breakdown)

سبق وان تناولنا في الفصل الثاني ظاهرة الانهيار التهدمي الذي يظهر في الثنائي العادي في حالة الانحياز العكسي، حيث تعمل فولتية التحيز العكسي على تعجيل حاملات الشحنة الأفلية في منطقة

الاستنزاف ومتى ما كانت الفولتية العكسية المسلطه عاليه بما يكفي فان حاملات الشحنة الأقلية المتحركة ستتمكن من تحرير الكترونات تكافؤية والإلكترونات المتحركة تتعجل بدورها لتحرر المزيد من الإلكترونات التكافؤية وبالنتيجة نحصل على عدد كبير من الإلكترونات المتحركة (تيار) وتسمى تلك الظاهرة بالانهيار التهدمي، في حالة ثانوي الزنير فان نفس الظاهرة (الانهيار التهدمي) تحدث ولكن بفولتيات انهيار اقل نسبياً حيث تحدث ظاهرة الانهيار التهدمي لفولتيات اكبر تقريباً من $(6V)$ ، في حالة الثنائي الاعتيادي فان الانهيار يحدث عادة لفولتيات اعلى من $(50V)$ او اكثراً وهذا عائد لاختلاف نسبة التشويب بين الثنائي العادي وثنائي زنر .

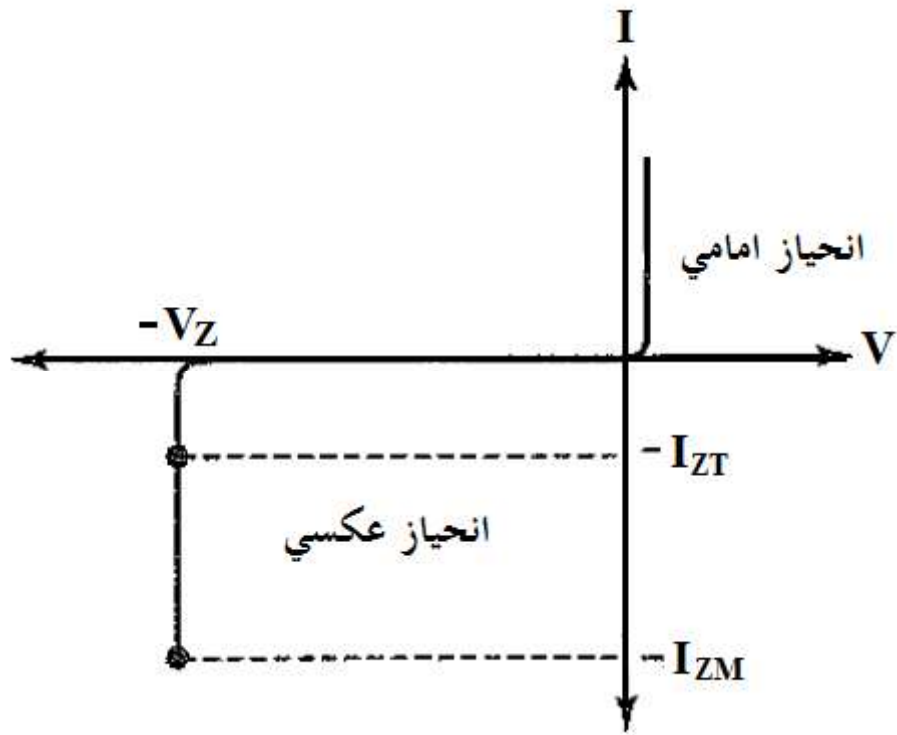
ب. انهيار زنر (Zener Breakdown)

يحدث هذا النوع من الانهيار عندما يشوب ثانوي ما بغزارة (كما هو الحال في ثانوي زنر)، حيث تكون طبقة الاستنزاف ضيقة جداً وبالتالي يكون المجال الكهربائي بين طرفي منطقة الاستنزاف شديداً جداً، وعندما يصل شدة المجال إلى حوالي $(300000V/cm)$ فان تلك الشدة تكفي لسحب الكترونات من مدارات التكافؤ فت تكون الكترونات حرقة في منطقة الاستنزاف، ان توليد الإلكترونات الحرقة بهذه الطريقة تدعى انهيار زنر (كما تسمى كذلك بانبعاث المجال العالي High-Field Emission).

ان انهيار زنر هو الذي يسود في فولتيات الانكسار التي تقل عن $(4V)$ بينما تسود ظاهرة الانهيار التهدمي في فولتيات الانكسار التي تزيد عن $(6V)$. في البداية كان الاعتقاد با ان ظاهرة انهيار زنر هي الوحيدة الموجودة في انكسار الثنائيات، ولهذا شاع استعمال اسم ثانوي زنر قبل اكتشاف ظاهرة الانهيار التهدمي وبقيت جميع الثنائيات المصنوعة للعمل في منطقة الانكسار تدعى الثنائيات زنر بصرف النظر عن كون الانهيار الذي يحدث فيها من نوع انهيار زنر أو انهيار تهدمي.

٤. خصائص ثانوي زنر

الشكل (٤-٢) يمثل منحنى الخواص لثانوي زنر. يلاحظ من الشكل ان خواص ثانوي زنر في منطقة الانحياز الأمامي لا يختلف عن منحنى الخواص لل الثنائي العادي. اما في حالة الانحياز العكسي فنلاحظ ان التيار العكسي يكون صغيراً لحد الإهمال حتى تصبح فولتية التحبيز العكسية قريبة من فولتية الانكسار (V_Z) فتحدث عندها زيادة ملحوظة في التيار العكسي ويرمز للتيار الذي يبدأ فيه الانهيار بالرمز (I_{ZT}) . ان الانكسار في ثانوي زنر يكون له انحاء حاد جداً تعقبه زيادة عمودية تقريباً بالتيار ويلاحظ ان الفولتية على طرفي زنر تبقى ثابتة تقريباً وتساوي (V_Z) في معظم منطقة الانكسار، علما ان هناك قيمة قصوى للتيار العكسي يمكن ان يتحمله ثانوي زنر دون ان يتسبب بتلفه ويرمز له بالرمز (I_{ZMAX}) .



شكل (٤) منحنى الخواص لثائي زنر

ان تبديد القدرة (Power dissipation) في ثائي الزنير الذي يعمل في منطقة الانكسار يساوي حاصل ضرب فولتية انكساره في التيار المار من خلاله، أي ان:

$$P_Z = V_Z I_Z \quad (4-1)$$

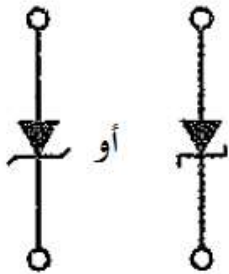
فمثلاً لو كان $V_Z=12V$ و $I_Z=10mA$ فان:

$$P_Z = V_Z I_Z, \quad P_Z = 12 \times 10 \times 10^{-3} = 0.12W$$

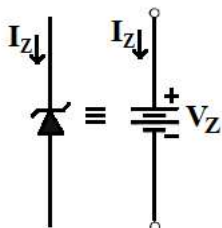
ان لكل ثائي زنر اقصى قيمة للقدرة المبددة P_{ZMAX} يمكن ان يتحمله ثائي زنر دون ان يتلف، وعليه كلما كانت P_Z اقل من اقصى قدرة فان ثائي زنر لن يعطب. ان ثانويات زنر التجارية لها مدى تحمل قدرة يتراوح بين ($0.25W$) إلى اكثر من ($50W$).

غالباً ما تبين استماراة المعلومات مقدار اقصى تيار يتحمله ثائي زنر دون تجاوز مدى تحمل القدرة، ويرمز لأقصى تيار يمكن ان يتحمله ثائي زنر بالرمز I_{ZM} والعلقة التي تربط بين اقصى تيار ومدى تحمل القدرة هي:

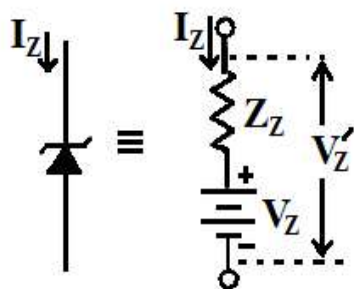
$$I_{ZM} = \frac{P_{ZMAX}}{V_Z} \quad (4-2)$$



الشكل المجاور يمثل رمز ثانوي زنر والذي يكون بصورتين.



كتيرب أول (تقريب مثالي) يمكن اعتبار ثانوي زنر العامل في منطقة الانهيار كبطارية ذات فولتية مقدارها فولتية الانهيار V_Z كما موضح بالشكل المجاور.



للحصول على نتائج أكثر دقة نأخذ بنظر الاعتبار انحدار منطقة الانكسار، لأن منطقة الانكسار ليست عمودية تماماً لوجود ممانعة صغيرة لثانوي زنر. الشكل المجاور يوضح التقريب الثاني لثانوي زنر.

عند اخذ ممانعة زنر بنظر الاعتبار فان فولتية زنر الكلية تعطى بالعلاقة:

$$V'_Z = V_Z + I_Z Z_Z \quad (4-3)$$

وعادة ما تكون ممانعة زنر صغيرة وتعطى بالعلاقة:

$$Z_Z = \frac{\Delta V}{\Delta I} \quad (4-4)$$

٤ . ٤ المعامل الحراري (Temperature Coefficient) لثانوي زنر

يعرف المعامل الحراري لثانوي زنر بأنه التغير المئوي في فولتية الانهيار لثانوي زنر لكل درجة مئوية واحدة، ويرمز له بالرمز (T_C) ، أي ان:

$$T_C = \frac{(\Delta V_Z)}{V_{Z_0}} \times 100 \% \quad (4-5)$$

حيث (ΔV_Z) هو التغير في فولتية انكسار زنر ويعطى بالعلاقة:

$$\Delta V_Z = V_{Z1} - V_{Z0} \quad (4-6)$$

(ΔT) هو التغير في درجة الحرارة ويعطى بالعلاقة:

$$\Delta T = T_1 - T_0$$

وتمثل T_0 درجة الحرارة المعتمدة عند تعين فولتية انكسار زنر V_{Z0} (والتي تكون عادة درجة حرارة الغرفة)، بينما تمثل T_1 درجة الحرارة التي تكون فيها فولتية انكسار زنر V_{Z1} .

ومن علاقة المعامل الحراري يمكننا التعبير عن التغير في فولتية انكسار زنر بالصيغة:

$$\Delta V_Z = T_C \times \Delta T \times V_{Z0} \quad (4-7)$$

ان المعامل الحراري لثنائي زنر يكون سالب لفولتيات انكسار اقل من 4V (انهيار زنر)، بينما يكون المعامل الحراري موجب لفولتيات انكسار اكبر من 6V (انهيار تهدمي)، وتتغير إشارة المعامل الحراري من السالب إلى الموجب بين 4V إلى 6V.

مثال (٤-١): اذا علمت بان المعامل الحرارة لثنائي زنر هو $0.004/\text{ }^{\circ}\text{C}$ وجهد انكساره يساوي (12V) عند درجة حرارة ($25\text{ }^{\circ}\text{C}$), أوجد التغير في فولتية زنر V_Z وفولتية زنر عند ارتفاع درجة الحرارة إلى ($110\text{ }^{\circ}\text{C}$)؟

الحل: من معطيات المثال لدينا

$$T_C = 0.004/\text{ }^{\circ}\text{C}, V_{Z0} = 12\text{V}, T_0 = 25\text{ }^{\circ}\text{C}, T_1 = 110\text{ }^{\circ}\text{C}, \Delta V_Z = ?, V_{Z1} = ?$$

$$\Delta V_Z = T_C \times \Delta T \times V_{Z0}$$
 ان التغير في فولتية انكسار زنر يعطى بالعلاقة:

بالتعويض نحصل على:

$$\Delta V_Z = \left(\frac{0.004}{100}\right) \times (110 - 25) \times 12$$

$$\Delta V_Z = 0.041\text{V}$$

من النتيجة الأخيرة نلاحظ ان التغير في فولتية زنر موجبة، أي انه في هذه الحالة فان فولتية انكسار زنر قد زادت بارتفاع درجة الحرارة ويمكن حساب فولتية انكسار زنر عند درجة $100\text{ }^{\circ}\text{C}$ كما يلي:

$$V_{Z_1} - V_{Z_0} = 0.041V$$

$$V_{Z_1} = 12.041V$$

أي ان جهد انكسار زنر عند درجة حرارة (100°C) هو (12.041V).

٤.٥ هبوط القدرة لثنائي زنر بسبب ارتفاع درجة الحرارة

ان اقصى قدرة مبددة في ثنائي زنر تتحفظ مع ارتفاع درجة الحرارة، عادة ما يتم تعين اقصى قدرة مبددة عند درجة حرارة معينة (غالباً ما تكون 50°C) وعند ارتفاع درجة الحرارة عن 50°C فان القدرة المبددة تهبط بسبب ارتفاع درجة الحرارة، وتعطى القدرة المبددة عند درجة حرارة معينة بالعلاقة:

$$P_D = P_{D(MAX)} - (mW/^\circ C) \times \Delta T \quad (4-8)$$

(mW) هو اقصى قدرة مبددة عند درجة حرارة T_2 بوحدات ملي واط P_D

(mW) هو اقصى قدرة مبددة عند درجة حرارة معينة ($T_1=50^\circ C$) بوحدات $P_{D(MAX)}$

معامل هبوط القدرة ($mW/^\circ C$)

مثال (٤-٢): اقصى قدرة مبددة لثنائي زنر معين هي (380mW) عند درجة حرارة (50°C)، أوجد اقصى قدرة مبددة عند درجة حرارة (85°C) علماً بأن معامل هبوط القدرة لذلك زنر هو (3.3mW/°C) ؟

الحل: من معطيات المثال لدينا

$$P_{D(MAX)} = 380mW, T_1 = 50^\circ C, T_2 = 85^\circ C, (mW/^\circ C) = 3.3mW/^\circ C, P_D = ?$$

$$P_D = P_{D(MAX)} - (mW/^\circ C) \times \Delta T$$

$$P_D = 380mW - 3.3mW/^\circ C \times (85 - 50)^\circ C$$

$$P_D = 264.5mW$$

نلاحظ ان اقصى قدرة مبددة هبطت من 380mW إلى 264.5mW نتيجة لارتفاع درجة الحرارة من 85°C إلى 50°C

٤.٦ تطبيقات ثنائي زنر:

لثنائي زنر العديد من التطبيقات في الدوائر الإلكترونية، وسوف نقتصر في دراستها على اهم تطبيقين وهما:

١- استعمال ثنائي زنر في دوائر تنظيم الفولتية.

٢- استعمال ثنائي زنر في دوائر التحديد (التقليم).

٤.٦.٤ استعمال ثنائي زنر في دوائر تنظيم الفولتية (Voltage Regulator)

تستعمل دوائر تنظيم الفولتية للحصول على فولتية إخراج مسمنة ثابتة القيمة بصرف النظر عن التغير في فولتية الإدخال أو التغير في قيمة مقاومة الحمل وتعتبر المرحلة الأخيرة من مراحل مجهز القدرة المستمر. ان مقاومة الحمل المربوطة على مجهز القدرة قد تكون مقاومة مفردة او قد تكون المقاومة المكافئة لعدة دوائر مربوطة على التوازي، وفي الحالتين فان مقاومة الحمل تكون متغيرة، ويمكن ان تتغير من قيمة صغيرة إلى قيمة كبيرة. وتعطى معادلة تنظيم الفولتية (Voltage Regulation) بالصيغة:

$$V_R = \frac{V_{NL} - V_{FL}}{V_{FL}} \times 100 \% \quad (4-9)$$

حيث V_R النسبة المئوية لتنظيم الفولتية.

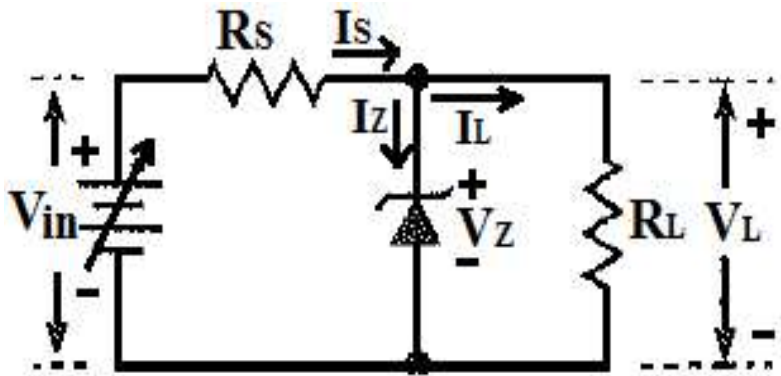
فولتية الإخراج المستمرة عند عدم وجود حمل ($R_L=\infty$) .

فولتية الإخراج المستمرة عند حمل كامل (R_{LMIN}) V_{FL}

في مجهز القدرة المصمم بصورة جيدة تقل فولتية الحمل الكامل قليلاً عن الفولتية في حالة عدم وجود الحمل ($V_R \approx 0$) ، وهذا يعني انه كلما كان V_R قليلاً كان مجهز القدرة افضل.

يعتبر استعمال ثنائي زنر في دوائر تنظيم الفولتية من اهم تطبيقات ثنائي زنر، ان الميزة الأساسية التي يجعل من ثنائي زنر العنصر الأساسي في دوائر تنظيم الفولتية هي الثبوت النسبي للفولتية على طرفيه عندما يكون عاملًا في منطقة الانهيار.

الشكل (٤-٣) يمثل ابسط أنواع دوائر تنظيم الفولتية والذي يسمى منظم زنر (Zener Regulator)، حيث يربط الحمل على التوازي على طرفي ثنائية زنر، اما مقاومة التحديد R_S فوظيفتها تحديد التيار المار بثنائي زنر لكي لا يتجاوز الحد الأقصى المسموح به لثنائي زنر I_{ZMAX} .



شكل (٤-٣) دائرة منظم زنر

كتقريب أولي يمكن اعتبار ثانوي زنر العامل في منطقة الانهيار كبطارية جهدها V_Z ، وحيث ان الحمل مربوط على التوازي مع الزنير وبالتالي فان الجهد على الحمل سيكون ثابتاً كذلك. في الدائرة السابقة يمكننا إيجاد العلاقة الخاصة بالتيار المار في المقاومة R_s بالاستعانة بقانون أوم:

$$I_s = \frac{V_{in} - V_L}{R_s} \quad (4-10)$$

يفرق I_s عند نقطة ارتباط ثانوي زنر مع مقاومة الحمل وحسب قانون كيرشوف الخاص بالتيار حيث يمكن التعبير عن تيار زنر بالعلاقة:

$$I_z = I_s - I_L \quad (4-11)$$

بإهمال ممانعة زنر الصغيرة يكون:

$$V_L = V_z \quad (4-12)$$

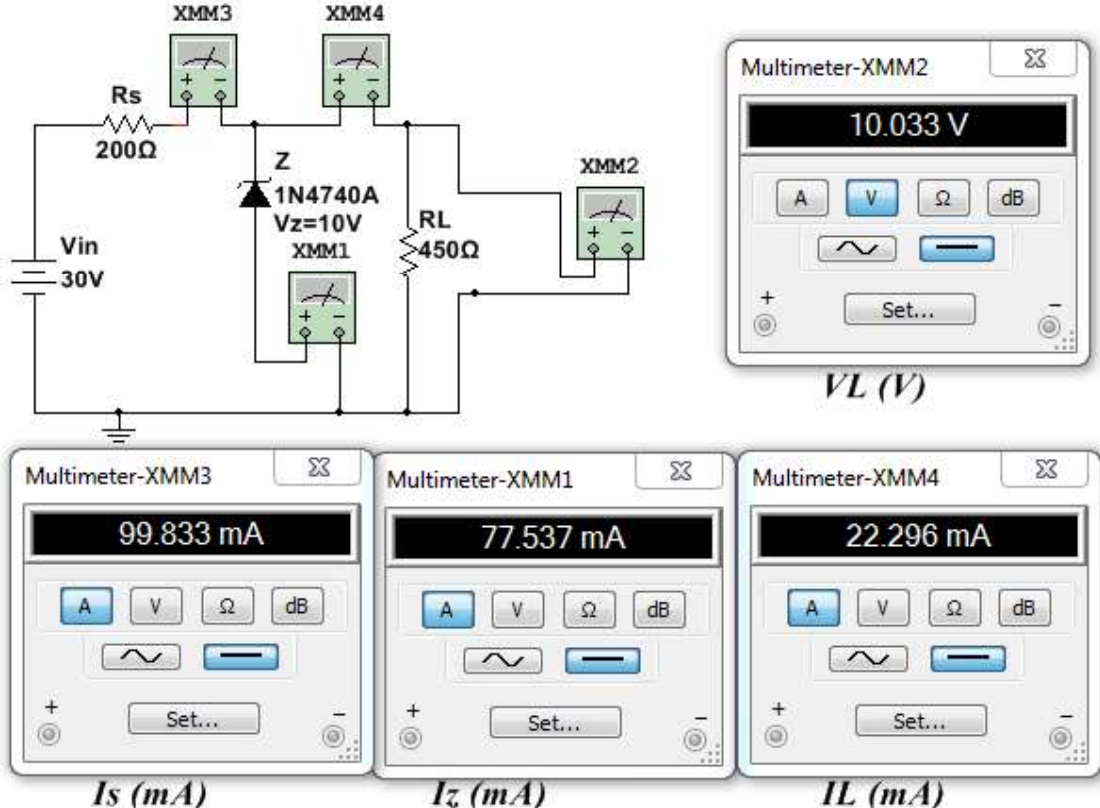
وبالاستفادة من قانون أوم يمكننا التعبير عن تيار الحمل بالصيغة:

$$I_L = \frac{V_L}{R_L} \quad (4-13)$$

ان المعادلات الأربع الأخيرة تكون كافية للتحليل الأولي في دائرة منظم زنر، وللحصول على دقة افضل نأخذ ممانعة زنر بنظر الاعتبار عندها يمكن ان نعبر عن فرق الجهد على طرفى الحمل بالصيغة:

$$V_L = V_z + I_z Z_z \quad (4-14)$$

مثال (٤-٣) : الشكل التالي يوضح نتيجة برنامج المحاكات (Multisim-14) لعمل دائرة منظم زنر، أوجد:
**فرق الجهد على طرفى الحمل ، تيار الحمل ، تيار المقاومة R_s ، تيار زنر ، ثم قارن نتائجك مع نتائج
 برنامج المحاكات.**



: الحل

$$V_L = V_Z$$

$$V_L = 10V$$

$$I_L = \frac{V_L}{R_L}$$

$$I_L = \frac{10}{450} = 0.02222A = 22.22mA$$

$$I_s = \frac{V_{in} - V_z}{R_s}$$

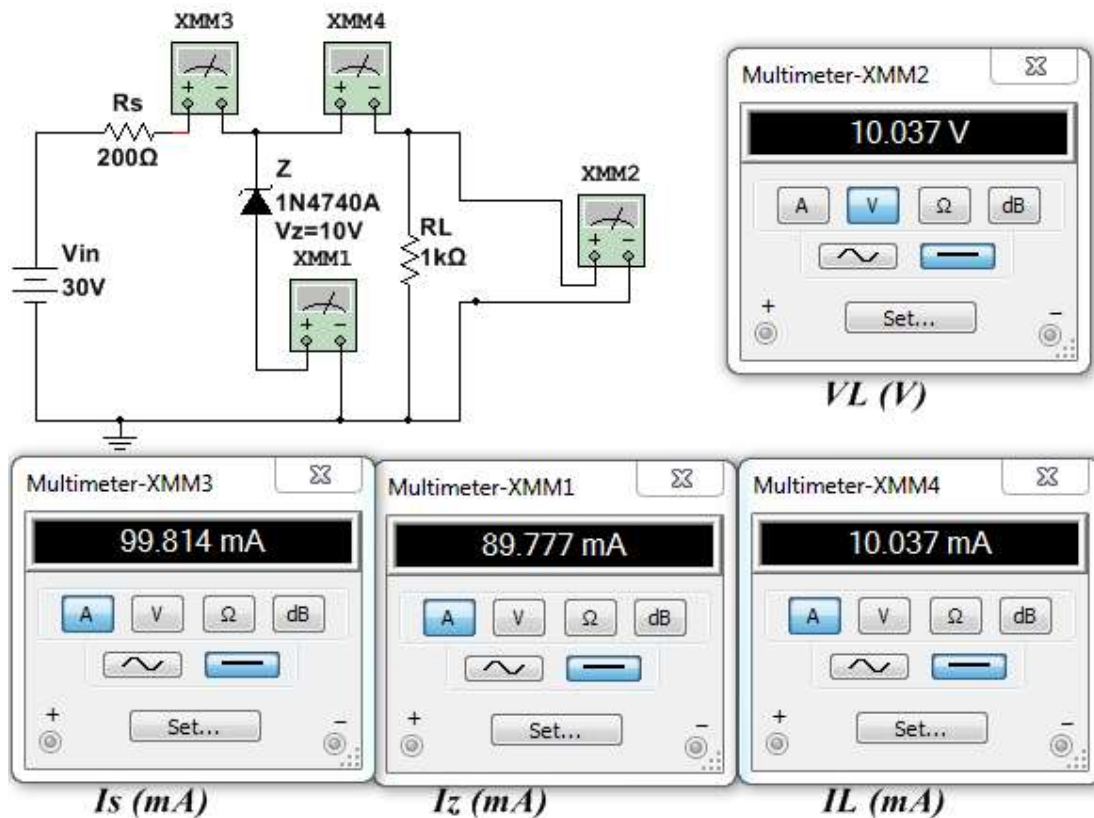
$$I_s = \frac{30 - 10}{200} = 0.1A = 100mA$$

$$I_Z = I_s - I_L$$

$$I_Z = 100 - 22.22 = 77.78mA$$

يلاحظ ان نتائج الحسابات قريبة من نتائج المحاكمات، والاختلاف البسيط بينهما بسبب اتنا في حساباتنا لم نأخذ بنظر الاعتبار مقاومة ثنائي زنر.

مثال (٤-٤): تم إعادة تنفيذ برنامج المحاكمات في المثال السابق بعد تغيير قيمة مقاومة الحمل إلى (1000Ω)، أوجد: فرق الجهد على طرفى الحمل ، تيار الحمل، تيار المقاومة R_s ، تيار زنر، ثم قارن نتائجك مع نتائج برنامج المحاكمات.



: الحل

$$V_L = V_Z$$

$$V_L = 10V$$

$$I_L = \frac{V_L}{R_L}$$

$$I_L = \frac{10}{1000} = 0.01A = 10mA$$

$$I_s = \frac{V_{in} - V_z}{R_s}$$

$$I_s = \frac{30 - 10}{200} = 0.1A = 100mA$$

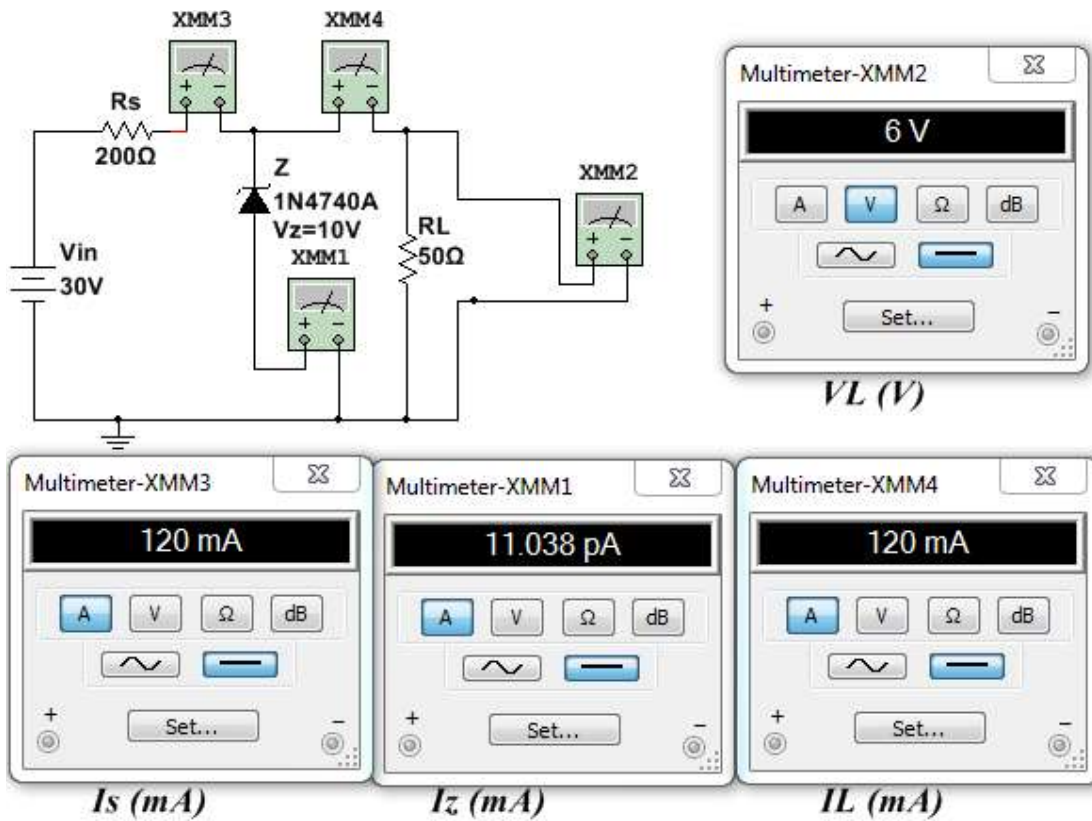
$$I_Z = I_s - I_L$$

$$I_Z = 100 - 10 = 90mA$$

يلاحظ ان نتائج الحسابات قريبة من نتائج المحاكمات، والاختلاف البسيط بينهما بسبب إهمال تأثير مقاومة ثانوي زنر.

للتوضيح حدود عمل ثانوي زنر في دوائر التحكم، نورد المثالين التاليين لنفس الدائرة في المثالين السابقين تفشل فيها الدائرة في تنظيم الفولتية.

مثال (٤-٥) : تم إعادة تنفيذ برنامج المحاكمات في المثال السابق بعد تغيير قيمة مقاومة الحمل إلى (50Ω)، أوجد: فرق الجهد على طرفى الحمل ، تيار الحمل، تيار المقاومة R_s ، تيار زنر، ثم قارن نتائجك مع نتائج برنامج المحاكمات.



في هذه الحالة لا يقوم ثانوي زنر بعملية التحكم لأن الجهد العكسي المسلط على طرفيه أقل من جهد الانهيار لثانوي زنر، وبالتالي لا يكون للثانوي أي تأثير على عمل الدائرة (يعتبر دائرة مفتوحة)، ويمكن إيجاد قيم التيار والفولتية بالاعتماد على قانون أوم وكما يلي:

لإيجاد فرق الجهد على طرفي الحمل نجد أولاً تيار الدائرة:

$$I = \frac{V_{in}}{R_S + R_L}$$

$$I = \frac{30}{200 + 50} = 0.12A = 120mA$$

$$V_L = I_L \times R_L$$

$$V_L = 0.12 \times 50 = 6V$$

$$I_L = I = 120mA$$

$$I_s = I_L = I = 120mA$$

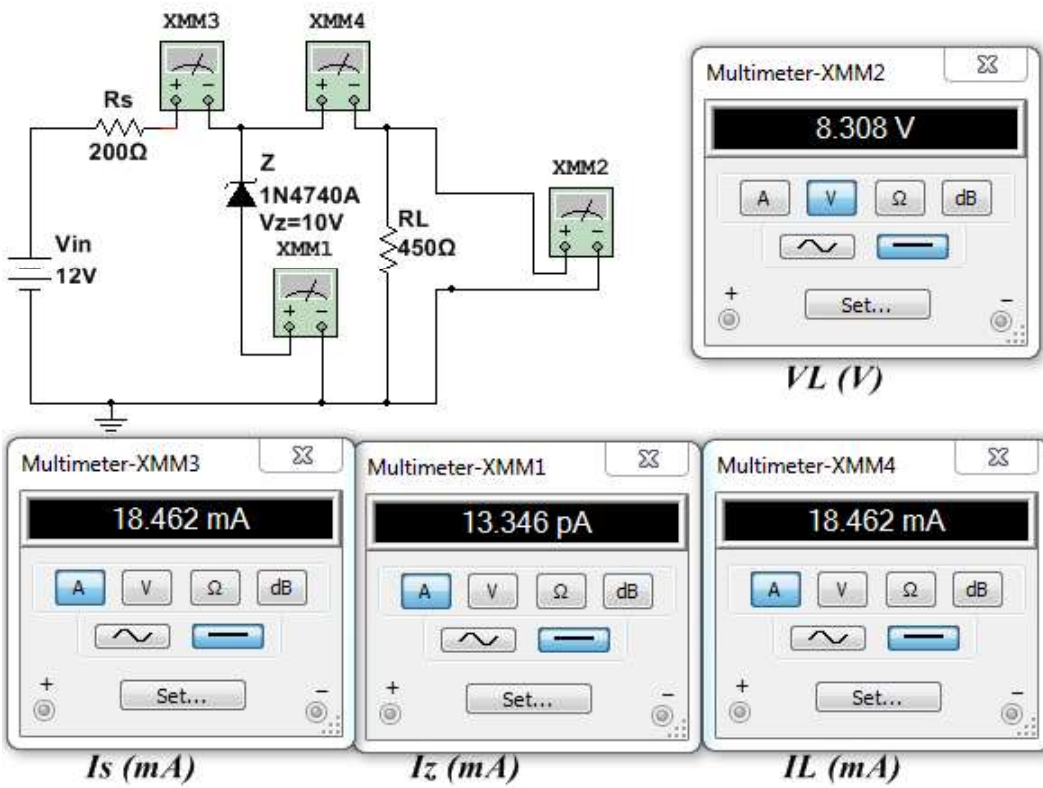
$$I_Z = 0 \quad (\text{لان الثنائي يعمل لا يعمل في منطقة الانهيار})$$

بالمقارنة مع نتائج المحاكمات نجد ان النتائج التي حصلنا عليها مطابقة لنتائج المحاكمات باستثناء ان البرنامج حسب قيمة صغيرة جداً لتيار زنر وهي $(11.038pA = 11.038 \times 10^{-12}A)$ ، وهي قيمة تيار التشبع العكسي للثائي وهي قيمة صغيرة جداً يمكن إهمال تأثيرها في مثل هذه الدوائر.

وبالتالي فان هناك حدود دُنيا وعليها لمقاومة الحمل التي يمكن ان تقوم دائرة منظم زنر معينة بالعمل على تنظيم الجهد لذلك الحمل، فانخفاض الحمل عن قيمة معينة يجعل ثائي زنر عاماً خارج منطقة الانهيار، حيث ان انخفاض قيمة مقاومة الحمل تقلل من قيمة تيار زنر ومتى ما قل تيار زنر عن تيار بدأ الانهيار (I_{ZT}) يصبح الثنائي خارج منطقة الانهيار ويتوقف عن التنظيم ويكون بمثابة دائرة مفتوحة، وبال مقابل فن ارتفاع قيمة مقاومة الحمل يقلل من تيار الحمل (وذلك لبقاء قرف الجهد على طرفيه ثابتة مع تغير قيمة مقاومة الحمل) وحيث ان تيار زنر معرف بالعلاقة ($I_Z = I_s - I_L$) لذا فان انخفاض تيار الحمل (نتيجة لتغيير قيمة مقاومته) يرافقه زيادة في تيار زنر، وهناك حد يمكن لتيار زنر لا يمكن تجاوزه (I_{ZMAX}) وذلك لتجنب ثلف الثنائي زنر.

بالمقابل فان هناك حدود دُنيا وعليها لفولتية المصدر التي يمكن لثائي زنر ان يقوم فيها بعملية التنظيم، فهي من جهة يجب ان لا تقل عن قيمة معينة لضمان عمل ثائي زنر في منطقة الانهيار، والمثال التالي يوضح ذلك:

مثال (٤-٦): تم إعادة تتنفيذ برنامج المحاكمات في المثال السابق بعد إرجاع مقاومة الحمل إلى قيمتها الأولى (450Ω)، وتغير جهد المصدر إلى ($12V$) أوجد: فرق الجهد على طرفي الحمل ، تيار الحمل ، تيار المقاومة R_s ، تيار زنر ، ثم قارن نتائجك مع نتائج برنامج المحاكمات.



يلاحظ ان قيمة جهد المصدر صغيرة مما يجعل ثانوي زنر عامل خارج منطقة الانهيار ويتصرف كدائرة مفتوحة، عندها يمكن حساب التيارات والجهد بالاعتماد على قانون أوم وكما يلي:

$$I = \frac{V_{in}}{R_S + R_L}$$

$$I = \frac{12}{200 + 450} = 0.01846A = 18.46mA$$

$$V_L = I_L \times R_L$$

$$V_L = 0.01846 \times 450 = 8.308V$$

$$I_L = I = 18.46mA$$

$$I_S = I_L = I = 18.46mA$$

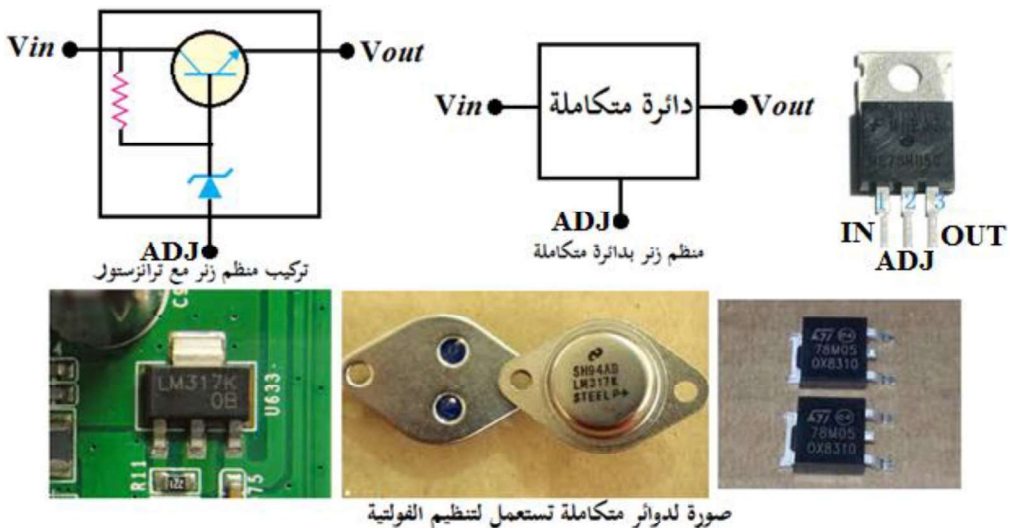
$$I_Z = 0 \quad (\text{لان الثنائي يعمل لا يعمل في منطقة الانهيار})$$

ويلاحظ ان هناك تطابق بين نتائج المحاكات ونتائج الحسابات. وبال مقابل فان هناك حدود عليا للجهد الذي يمكن ان ينظمها دائرة منظم زنر، فزيادة الجهد ترافقتها زيارة في تيار زنر العمل في منطقة الانهيار ومدى ما اصبح التيار المار في الثنائي اكبر من القيمة العظمى (I_{ZMAX}) لتيار زنر المسموح به فان الثنائي الزنر يتلف.

٢٠٦.٤ استعمال منظم زنر بدائرة متكاملة

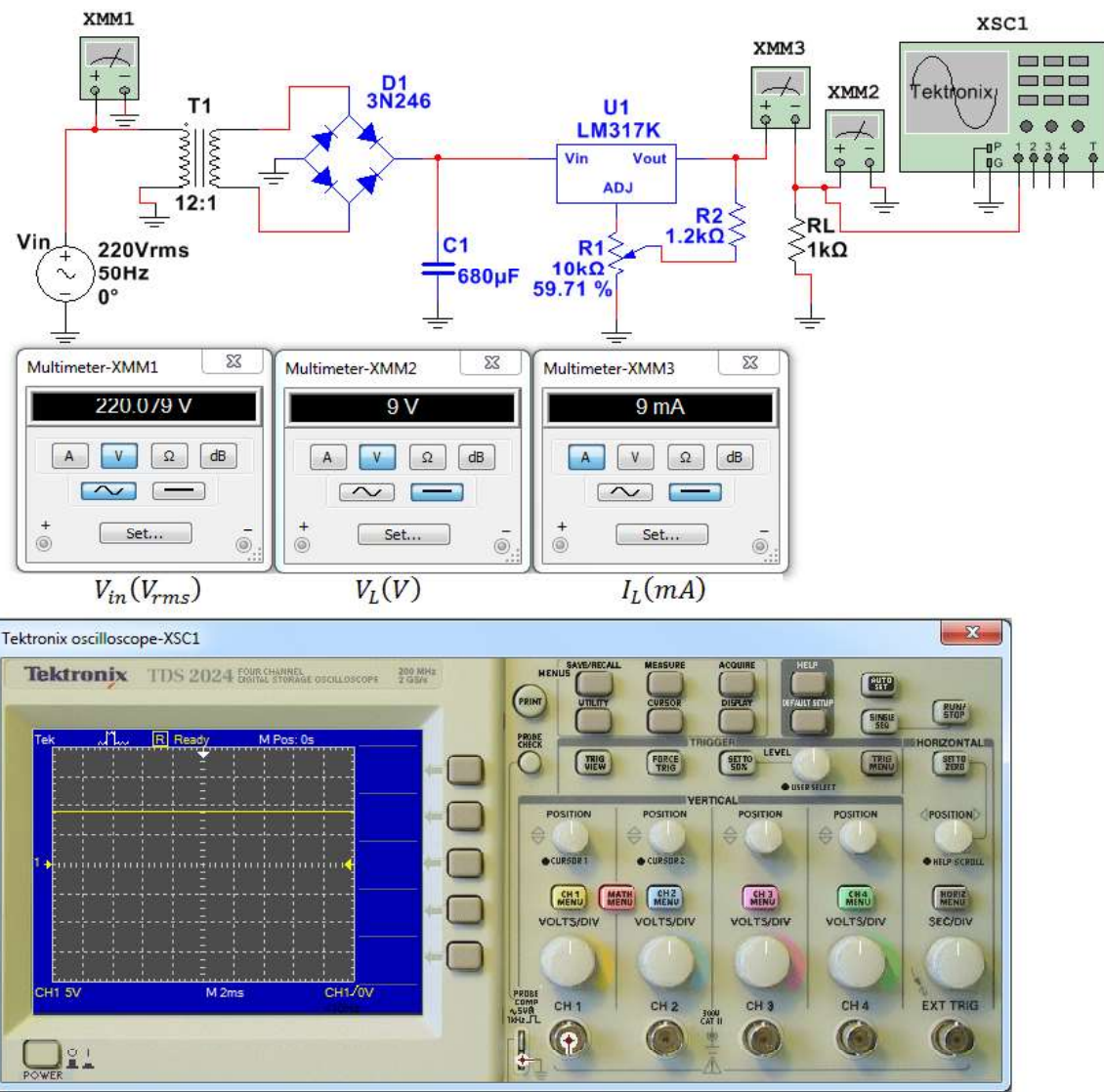
الشكل (٤-٤) يوضح باستعمال ثنائي زنر والترانزستور في دائرة تنظيم الفولتية، والذي يتميز عن منظم الفولتية الذي يستعمل ثنائي زنر لوحده هو ان التغير بتيار يقل بنسبة كبيرة، وبالتالي فان تأثير ممانعة الزينر يقل بمقدار كبير وتصبح دائرة المنظم اكثر استقراراً وذات قدرة إخراج عالية بالمقارنة مع منظم زنر. هناك منظمات فولتية تستعمل اكثر من ترانزستور في دوائر اكثر تعقيداً وبإمكانيات افضل.

عادة ما تُصنع ثائيات الزينر والترانزسترات المكونة لمنظم الفولتية على شريحة واحدة على شكل دائرة متكاملة IC (Integrated Circuit) تحتوي على ثلاثة اطراف حيث يكون الإدخال إلى منظم الفولتية هو الفولتية من مجهر القراءة غير المنظم (موقع موجة كاملة ومرشح) اما الإخراج فيذهب إلى مقاومة الحمل، ان منظم الفولتية الذي يكون بشكل دائرة متكاملة تمتاز بسهولة الاستعمال و الاعتمادية العالية وتنظيم افضل من منظم زنر أو منظمات زنر والترانزستور.



شكل (٤-٤) منظم فولتية زنر بدائرة متكاملة

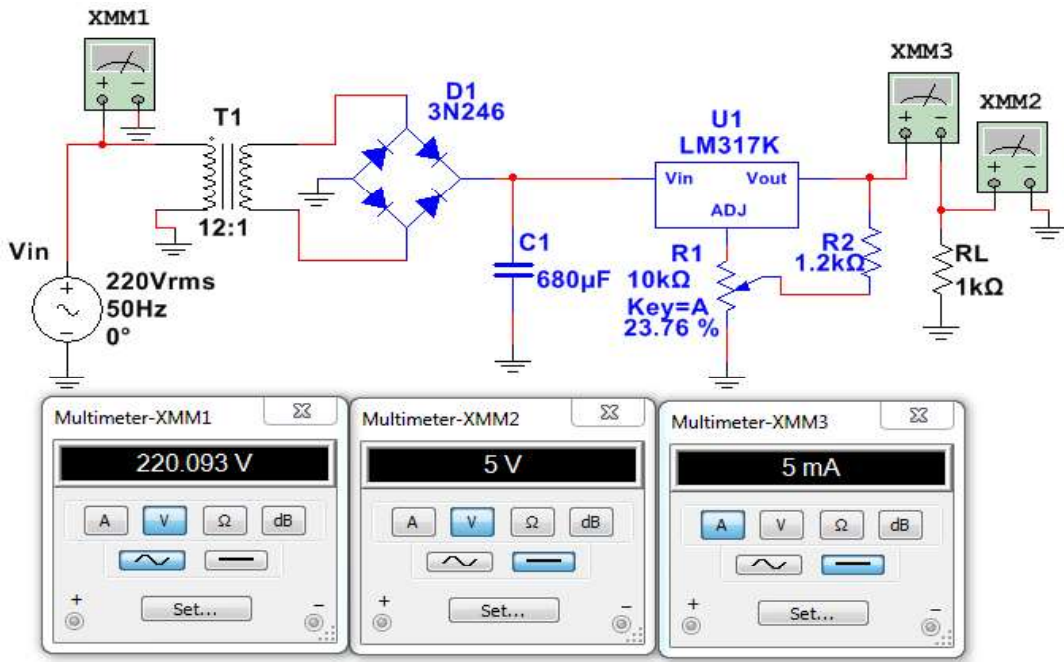
لتوضيح المزايا التي يتميز بها منظم الفولتية باستعمال الدوائر المتكاملة تمت المحاكات عمل الدائرة باستعمال برنامج Multisim-14 (Multism-14) الموضحة في الشكل (٤-٥)، تقوم الدائرة بتوفير فولتية مستمرة يمكن التحكم بقيمتها ضمن المدى (1.8-12.2Vdc) بالاعتماد على تغذية من الشبكة الوطنية، لهذه الدائرة اعتمادية عالية فهي توفر فولتية مستمرة ثابتة بصرف النظر عن تغير جهد الإدخال أو تغير قيمة الحمل المربوط، تكون الدائرة من محولة خاضعة ودائرة مقوم قنطرة ومرشح متسع بالإضافة إلى المتكاملة (LM317K)، تقوم المحولة والمقوم والمرشح بتوفير فولتية مستمرة غير منتظمة، وتقوم المتكاملة بعمليات التنظيم، ويمكن التحكم بالقيمة التي تثبت فيها فولتية الإخراج من خلال التحكم بقيمة المقاومة المتغيرة، وقد قمنا بضبط المقاومة المتغيرة لتجعل فولتية المجهز عند قيمة (9V).



شكل (٤) محاكات لعمل دائرة منظم فولتية باستعمال الدائرة المتكاملة LM317K

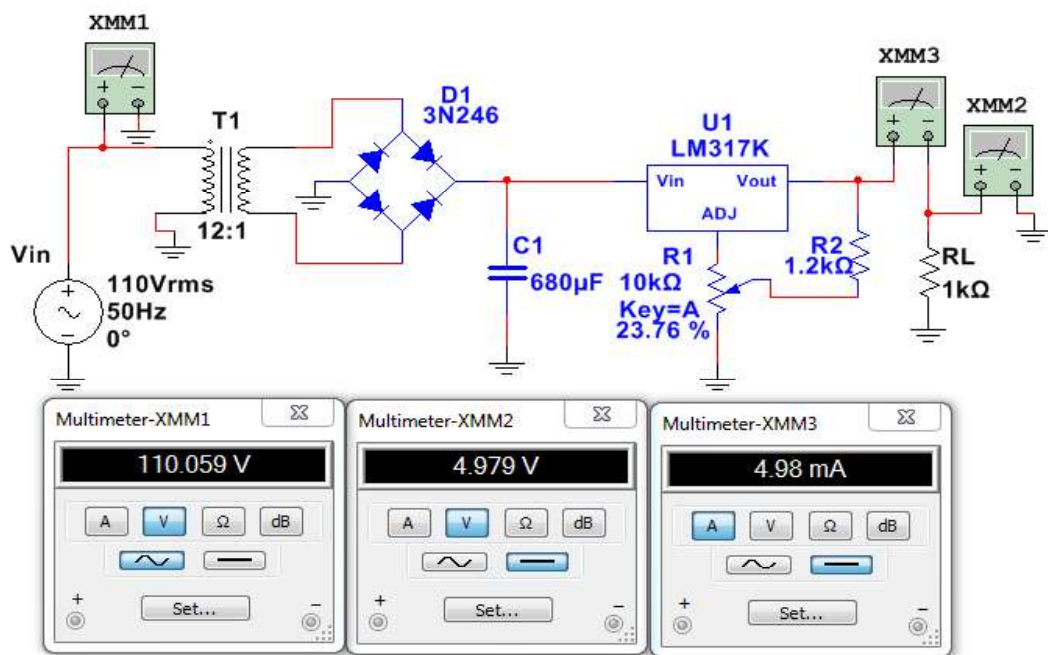
يلاحظ من رسمة الاوسليسكوب ان فولتية الإخراج مستمرة وخلالية من أي تموح وقيمتها (6V)، كما الفولتميتر (XMM1) يسجل فولتية الإدخال متداوبة قيمتها (220Vrms)، بينما يسجل الفولتميتر (XMM2) المربيوط على طرفي الحمل فولتية مستمرة (9V) بينما سجل الامبير (XMM3) تيار الحمل مقداره (9mA).

يمكن الاستفادة من دائرة السابقة في عمل جهاز شاحن لواحدة من التطبيقات الإلكترونية الشائعة في وقتنا الحالي هي أجهزة الموبايل والتي تعتمد في تغذيتها على بطارية قابلة للشحن (غالباً ما تكون فولتيتها 5V)، ويتم شحنها من كهرباء الشبكة الوطنية بأجهزة شاحن، فلذا بضبط المقاومة المتغير لجعل فولتية الإخراج للدائرة تساوي (5V) كما هو موضح بالشكل (٤).



شكل (٤) محاكاة لجهاز شاحن الموبايل باستعمال منظم زنر بدائرة متکاملة

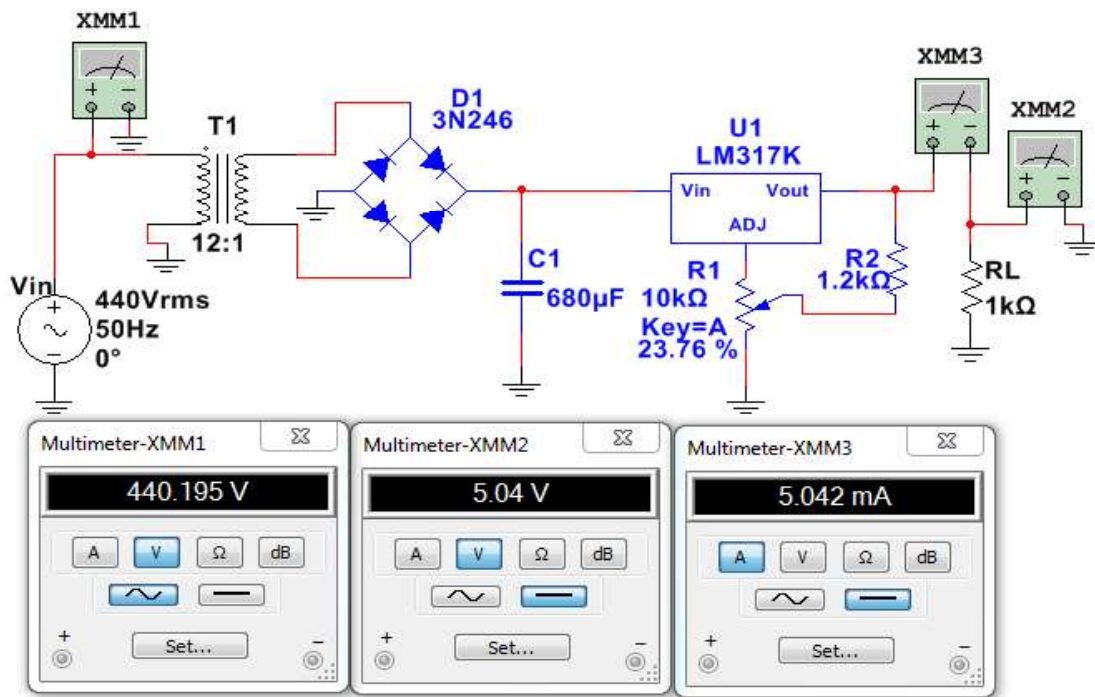
لاختبار استقرارية عمل الدائرة سنقوم بتنفيذ برنامج المحاکات لضروع عملية تتضمن تغير كبير في فولتية التجهیز وكذلك تغير مقاومة الحمل المستعمل، لنبحث أولاً استقرار عمل الدائرة في حالة تغير فولتية التجهیز من الشبكة الوطنية، لنفرض ان فولتية التجهیز (الشبكة الوطنية) قد انخفضت إلى نصف قيمها الاعتيادية (الشكل (٧-٤) ($V_{\text{in}} = 110\text{V}_{\text{rms}}$) يوضح نتيجة المحاکات.



شكل (٧-٤) محاکات لمنظم زنر بدائرة متکاملة في حالة انخفاض جهد التجهیز

نلاحظ من نتيجة المحاكمات ان فولتية الحمل وتيار الحمل ثابتة تقريبا عند قيمتها الأولية.

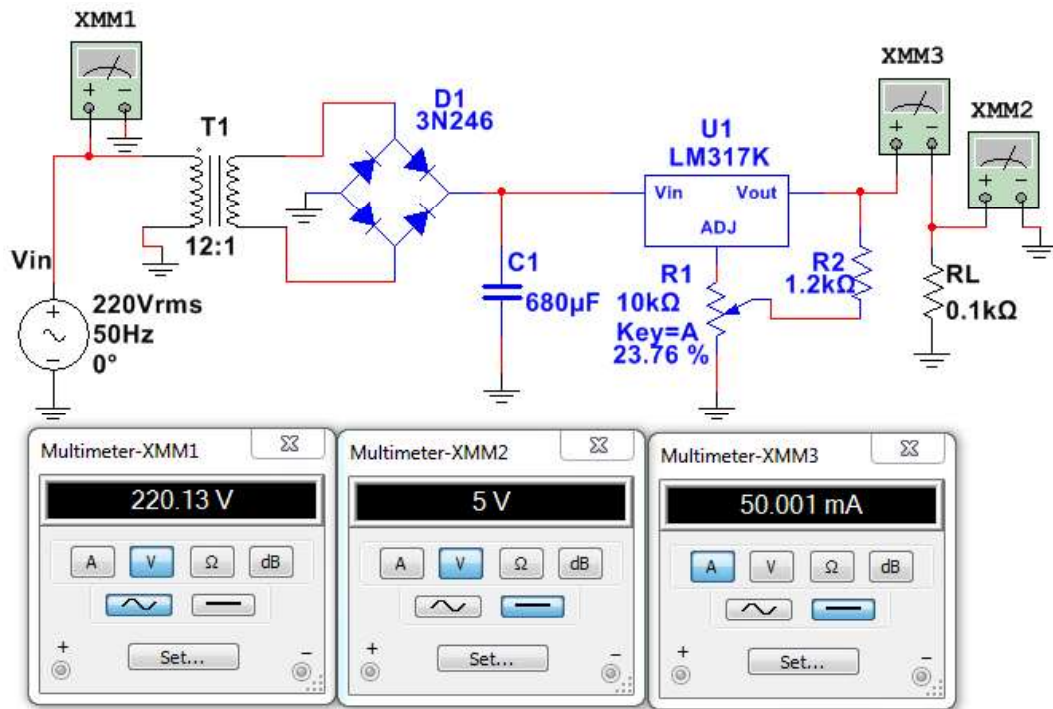
لفرض ان فولتية التجهيز الوطنية قد انخفضت إلى ضعف قيمتها الاعتيادية (440VRms)، الشكل (٨-٤)، يوضح نتيجة المحاكمات.



شكل (٨-٤) محاكمات لمنظم زنر بدائرة متکاملة في حالة انخفاض جهد التجهيز

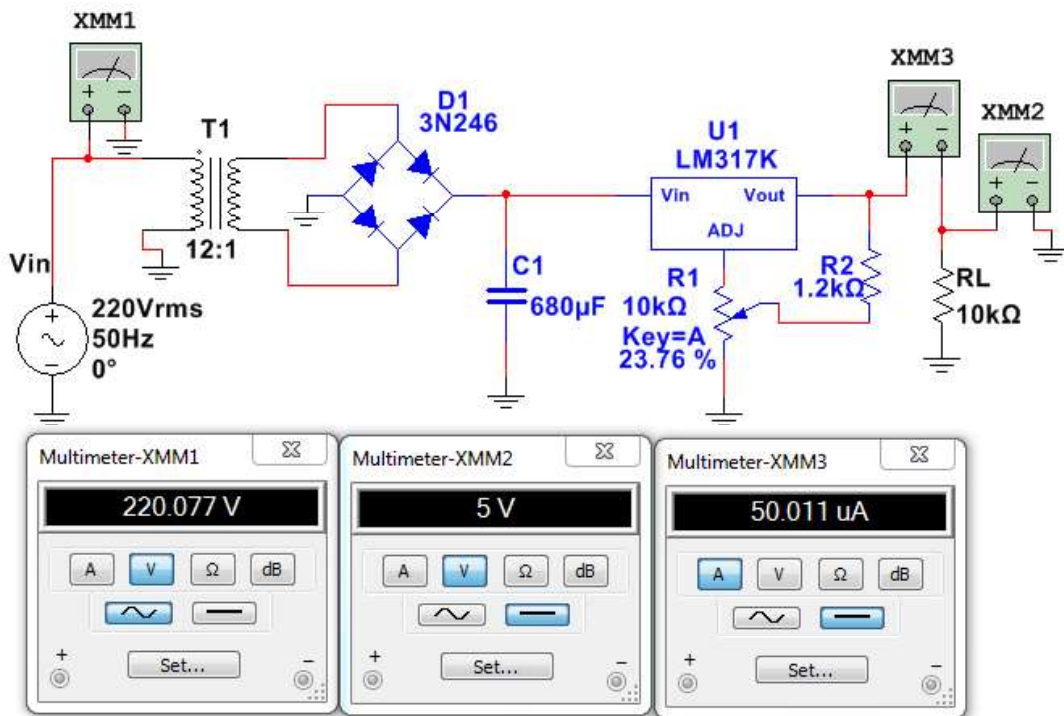
يلاحظ من الشكل السابق ان زيادة فولتية التجهيز لم تأثر على جهد الإخراج المستمر للدائرة.

لمناقشة تأثير تغير قيمة الحمل المربوط ثبت فولتية التجهيز عند قيمتها الاعتيادية (220VRms ،
ونقوم بتغيير قيمة مقاومة الحمل، الشكل (٩-٤) يوضح نتيجة المحاكمات في حالة انخفاض قيمة مقاومة
الحمل إلى عشر قيمتها الأولية ($0.1\text{k}\Omega$).



شكل (٤-٩) محاکات لمنظم زنر بدائرة متکاملة في حالة انخفاض مقاومة الحمل

يلاحظ من الشكل ان انخفاض قيمة مقاومة الحمل لم تأثر على قيمة فولتية الإخراج المستمرة للدائرة، الشكل (٤-١٠) يوضح نتيجة المحاکات في حالة ارتفاع قيمة إلى عشرة أضعاف قيمتها الأولى ($10\text{k}\Omega$).



شكل (٤-١٠) محاکات لمنظم زنر بدائرة متکاملة في حالة ارتفاع قيمة مقاومة الحمل

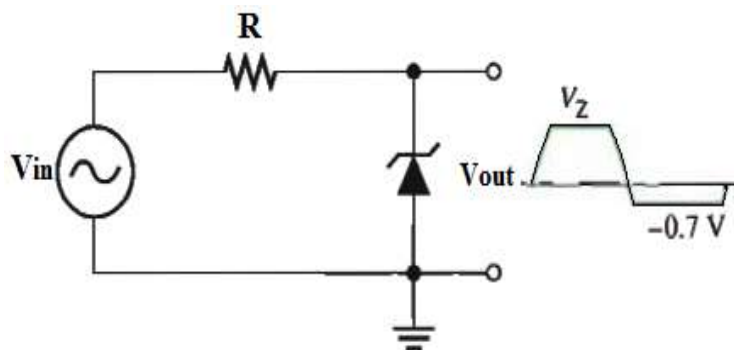
يلاحظ من (٤-١٠) السابق ان ارتفاع قيمة الحمل لم تأثر على قيمة فولتية الإخراج.

نستنتج مما سبق ان دائرة منظم زنر بدائرة متكاملة استقرارية عمل جديدا اذا نها تجهز فولتية إخراج مستمرة ذات قيمة ثابتة لمدى كبير من تغير الجهد المجهز أو تغير قيمة مقاومة الحمل.

٣.٦.٤ استعمال ثنائى زنر في دوائر تحديد الفولتية

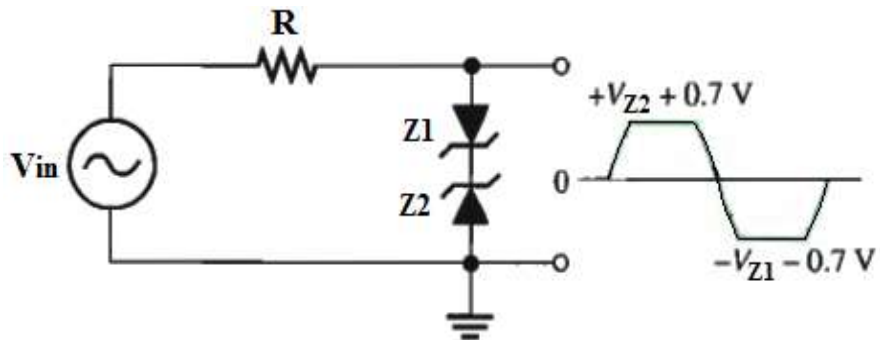
بالإضافة لاستعمال ثنائى زنر في دوائر تنظيم الفولتية، يمكن استعمال ثنائى زنر في دوائر تحديد (تقليم) الفولتية ويتتيح ذلك الاستغناء عن البطارية التي كانت تستعمل في دوائر التحديد المعتمدة على ثانية التقويم مما يوفر تكلفة أقل وحجم أصغر.

الشكل (٤-١١) يوضح دائرة محدد الفولتية الموجب باستعمال ثنائى زنر. خلال النصف الموجب يكون ثنائى زنر في حالة انحياز عكسي ويتصرف زنر دائرة مفتوحة ($V_o = V_{in}$) إلى ان تتغلب الفولتية المطلة على جهد انهايار ثنائى زنر وعندها تتحدد ذروة فولتية الإدخال عند جهد انهايار زنر ($V_o = V_Z$ ، اما خلال النصف السالب فيكون زنر في حالة انحياز أمامي وتتحدد ذروة الجزء السالب عند جهد الحاجز لقيم فولتيات الإدخال الأكبر من جهد الحاجز ($V_o = V_B$).

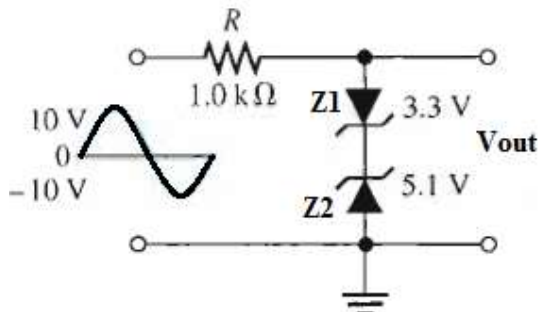


شكل (٤-١١) دائرة محدد الفولتية باستعمال ثنائى زنر

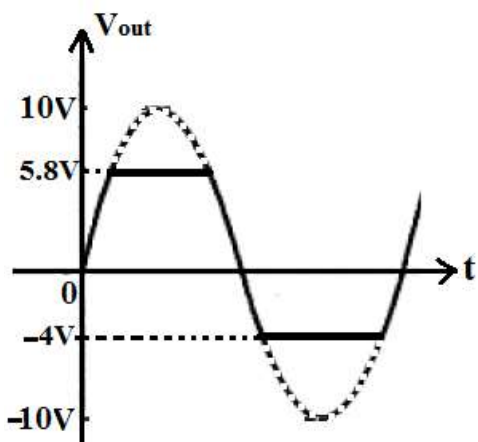
الشكل التالي يوضح استعمال ثنائى زنر في دائرة محدد الفولتية المركب، والذي يتكون من ثنائى زنر مربوطين باتجاهين متعاكسين، ويكون عمل الدائرة كالتالي: خلال النصف الموجب من موجة الإدخال يكون ثنائى زنر Z1 منحاز أماميا وثنائى زنر Z2 منحاز عكسيًا، وبالتالي يتحدد الجزء الموجب من موجة الإدخال عند قيمة جهد انهايار زنر Z2 متساوية إليها قيمة جهد الحاجز للثنائي Z1 ، أي ان الجزء الموجب من موجة الإدخال يتحدد بالمقدار ($V_{Z1} + 0.7$)، خلال النصف السالب من موجة الإدخال فيكون ثنائى زنر Z1 منحازاً عكسيًا وزنر Z2 منحازاً أماميا، وتتحدد الذروة السالبة بالمقدار ($-V_{Z2} - 0.7$).



مثال (٤-٧): في الشكل المجاور، ارسم شكل الفولتية
الخارجية مع توضيح عمل الدائرة.

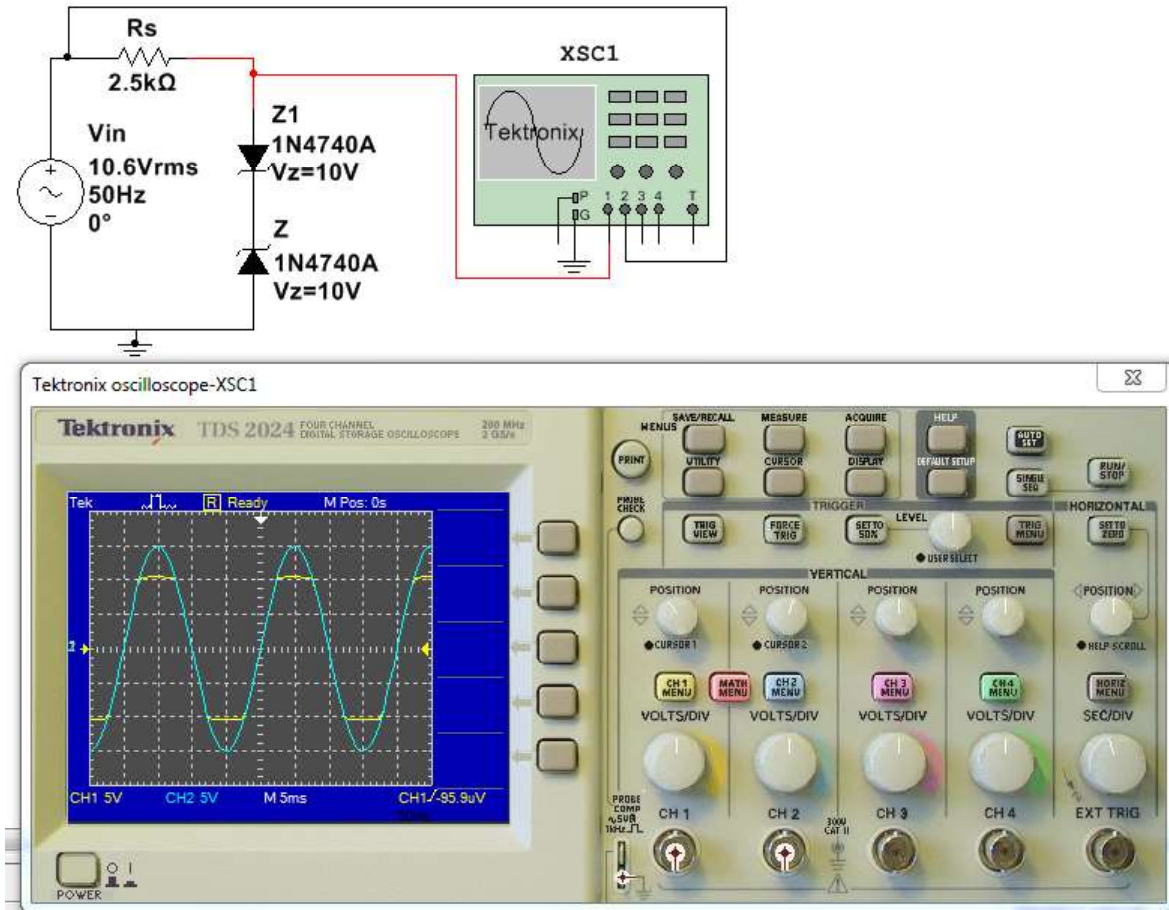


الحل:



خلال النصف الموجب يكون زنر Z1 منحاز أمامياً
وزنر Z2 منحاز عكسيًّا ولذلك يتحدد الجزء الموجب من
موجة الإخراج بالمقدار $(5.1+0.7)$ V، أما خلال
النصف السالب فيكون الزنير Z1 منحاز عكسيًّا وزنر
Z2 منحاز عكسيًّا، وبالتالي يتحدد الجزء السالب من
موجة الإخراج بالمقدار $(-0.7-3.3)$ V. كما هو
موضح بالشكل المجاور.

الشكل (٤-١٢) يوضح استعمال برنامج المحاكات (Multilism-14) في تصميم دائرة محددة مركبة
باستعمال ثانوي زنر متضادين ($V_{Z1} = 10V$, $V_{Z2} = 10V$) وباستعمال مصدر متباوب قيمته الفعلية
 $(10.6V)$ والذي يقابل فولتية جيبية ذروتها $(15V_{p})$ ولرسم الإشارة الداخلة والخارجة تم الاستفادة من جهاز
المحاكاة حيث تم توصيل القناة الأولى للأوسيسكوب بطرف الإخراج للدائرة بينما تم توصل القناة الأولى
بطرفي الإدخال للدائرة.

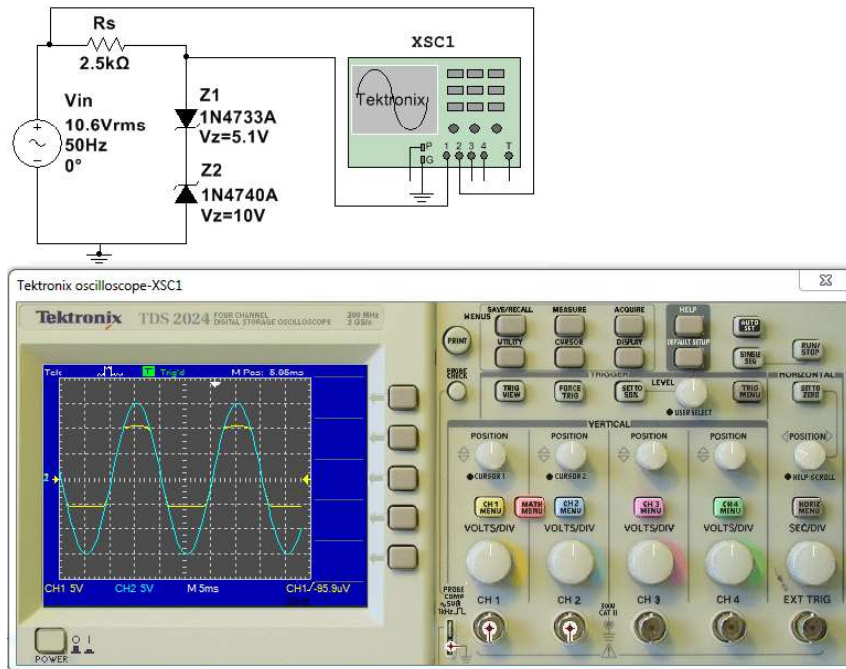


شكل (١٢-٤) محاكيات لدائرة محدد مركب باستعمال الثنائي زنر متماثلين

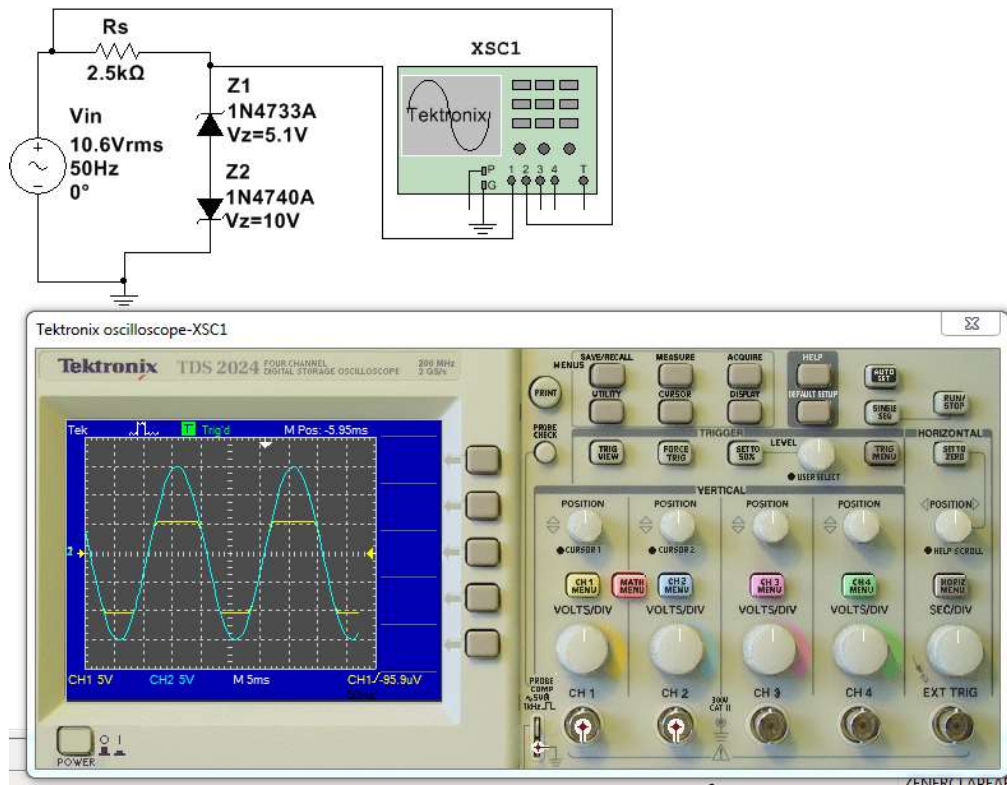
نلاحظ من الشكل ان إشارة الإدخال جيبية الشكل وذروتها (15V) والتي تقابل ثلاثة تقسيمات (Div) وكل تقسيم يقابل (5V) وما هو مثبت على شاشة الاوسليسكوب، يلاحظ ان فولتية الإخراج قد تحددت من الجزء الموجب والجزء السالب عند القيمة (10V)، حيث قام المحدد الموجب بتحديد الذروة الموجبة عند قيمة جهد الانهيار لثنائي زنر (V_{Z2})، اما الذروة السالبة فتم تحديدها بجهد الانهيار (V_{Z1}) ، ويلاحظ ان التحديد متماثل للجزء الموجب والجزء السالب وذلك لاستعمال الثنائي زنر متماثلين.

الشكل (١٣-٤) يوضح برنامج محاكيات لدائرة محدد زنر يستعمل الثنائي زنر مختلفين في جهد الانهيار ($V_{Z1} = 5.1V$, $V_{Z2} = 10V$) ، حيث يقوم الثنائي الأول بتحديد ذروة الجزء الموجب عند قيمة جهد الانهيار له (5.1V) بينما يقوم الثنائي زنر الثاني بتحديد ذروة الجزء الموجب عند قيمة جهد الانهيار له (10V).

الشكل (١٤-٦) يمثل محاكيات لدائرة مشابهة لدائرة (١٣-٤) ولكن بعد قلب كل من الثنائي زنر، ويلاحظ ان ذلك تسبب بجعل الثنائي الأول يحدد الجزء الموجب بينما يكون الثنائي زنر الثاني هو المسؤول عن تحديد الجزء السالب.



شكل (٤-١٢) محاكاة لدائرة محدد مركب باستعمال ثنائيي زنر مختلفين



شكل (٤-١٣) محاكاة لدائرة محدد مركب باستعمال ثنائيي زنر مختلفين

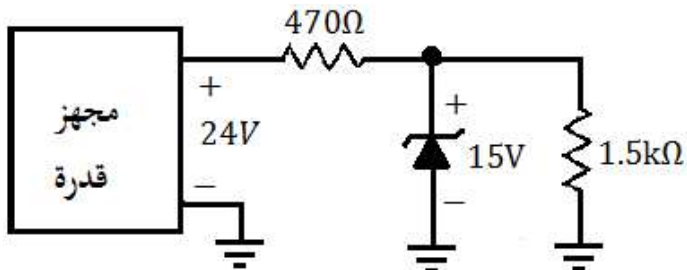
أسئلة الفصل الرابع

س١: قارن بين كل من: ثنائى التقويم وثنائى زنر. بـ الانهيار التهدمى وانهيار زنر.

س٢: ما هي الميزة التي تجعل من ثنائى زنر العنصر الأساسى في دوائر تنظيم الفولتية.

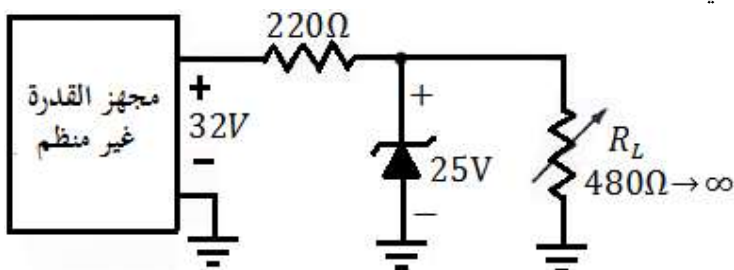
س٣: اذا علمت بان المعامل الحرارة لثنائى زنر هو ($0.004\text{%/}^{\circ}\text{C}$) وجهد انكساره يساوى (14V) عند درجة حرارة (25°C), أوجد التغير في فولتية زنر وفولتية زنر عند ارتفاع درجة الحرارة إلى (120°C).

س٤: اقصى قدرة مبددة لثنائى زنر معين هي (400mW) عند درجة حرارة (50°C), أوجد اقصى قدرة مبددة عند درجة حرارة (75°C) علماً بان معامل هبوط القدرة لذلك زنر هو ($3.1\text{mW/}^{\circ}\text{C}$)؟



س٥: في الشكل المجاور أوجد

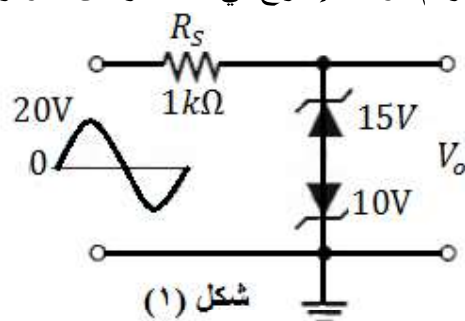
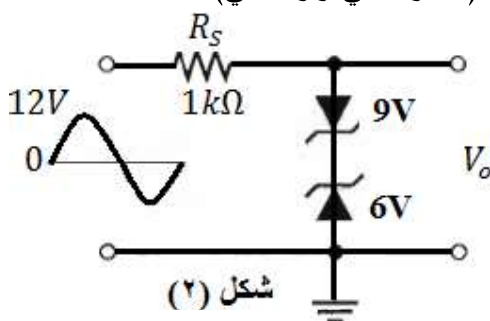
- ١- فرق الجهد على طرفي الحمل في حالة عدم توصيل ثنائى زنر بالدائرة.
- ٢- فرق الجهد على طرفي الحمل بعد توصيل ثنائى زنر بالدائرة.
- ٣- احسب التيارات الثلاث بعد ربط ثنائى زنر.



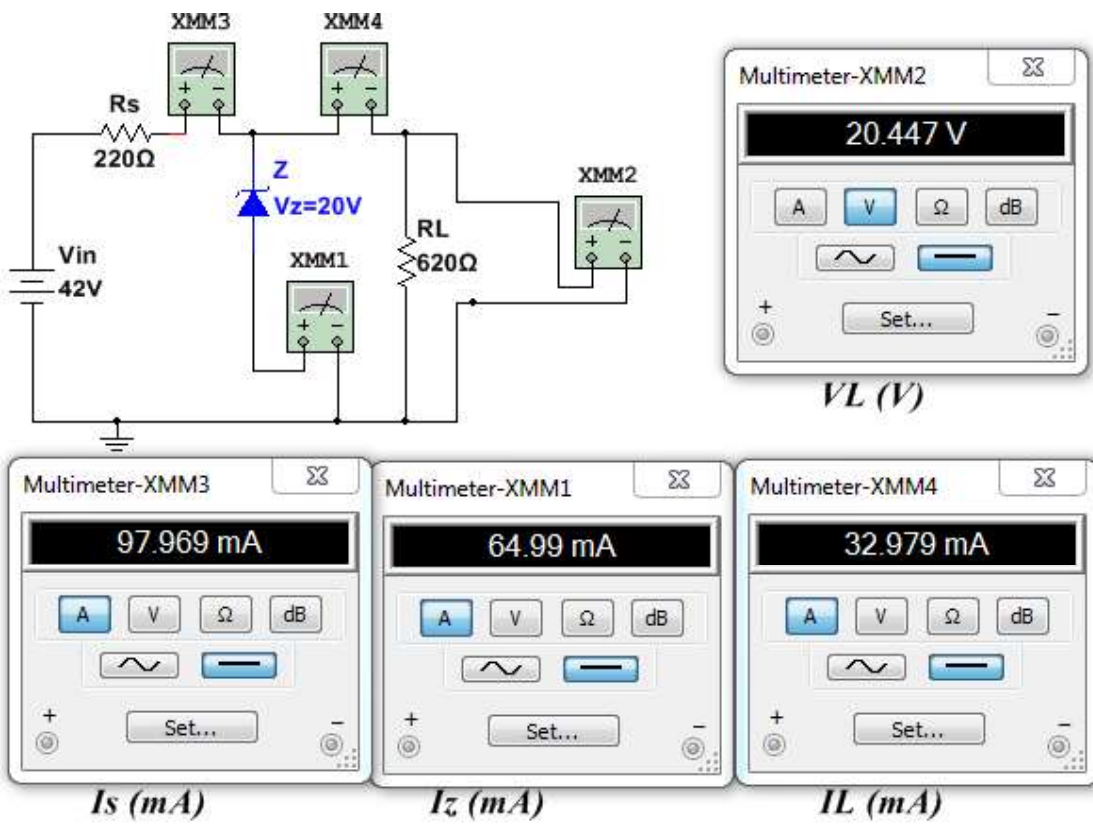
س٦: في الشكل المجاور احسب:

- ١- التيار المار في مقاومة التوالى.
- ٢- اصغر واعظم تيار حمل.
- ٣- اصغر واعظم تيار زنر.

س٧: ارسم موجة الإخراج في كل دائرة من الدوائر التالية (اعتبر ثنائى زنر مثالى):



س٨: الشكل التالي يوضح نتيجة برنامج المحاكمات (Multisim-14) لعمل دائرة منظم زنر، أوجد: فرق الجهد على طرفي الحمل ، تيار الحمل، تيار المقاومة R_s ، تيار زنر، ثم قارن نتائجك مع نتائج برنامج المحاكمات.



س٩: وضح هل يحدث التنشيط في الدائرة التالية ولماذا.

